

(9) 地中加振問題の一考察

～ 土加振解とその構造物への応用～

石古屋大学 松岡理 同 八幡夏恵子 同 福和伸夫

I はじめに

基礎構造物及び地中構造物は地盤と接している為に地盤との相互作用の影響が現われ、地震時、荷重は複雑なものとなる。この様に異種媒体の連成問題を扱う方法は一般に解析的手法と数値解析的手法に大別されるよう。地盤の解析としては古くから三次元弾性波動論に基づく解析手法が用いられてきた。この手法は解を求める事は容易ではないが、得られさえすれば解の信頼性が高く、地盤の振動特性の理解に重要な共振現象や遠散減衰を適確に把握できる。しかし解は微分方程式に基づいて求めなければならない為に難解である。地表面土加振の解である Lamb の解を用いた解析例はよく見られるものの一つである。これは特異点の扱いなどの繁雑さが伴う。また対象とする地盤モデルが半無限均質弾性体、剛基盤上にある弾性円柱等の途中に複雑な境界を含むものに限られる。田治見⁽¹⁾は仮定した変位関数を用いて剛基盤上の円形基礎を解析した。Novak 等も同様な多種の問題を提示した⁽²⁾。しかし何れも断面は円形であり断面形状が限られている。静的問題に関しては Mindlin 解を用いて杭を差分法で解析したものとし文⁽³⁾⁽⁴⁾がある。

数値解析手法としては有限要素法は有力な方法である。Lysmer⁽⁵⁾は粘性境界の概念を用いて相互作用問題を扱った。FEM は種々の地盤性状に対して解析可能であり適用範囲が広い。しかし一般に未知数の数の差から二次元問題として扱われている。これからに基づいて構造物と地盤とを分離して考え、前者を FEM で、後者を FEM 或いは連続体として扱った試みもある。杭、基礎、地盤を等価な複素パネルで置換して構造物を解析する Foundation Spring Method は解析が簡単であり、モードには非線形性を導入する事が容易である。Winkler の方法は杭を弾性支承盤として解析する。Penzien⁽⁶⁾は付加質量の概念を導入し杭を FEM で解析した。さらに付加質量を実体的质量として扱った試みもある。杭を伝達マトリックス法や差分法を用いて解析した例もある。

従来、地中構造物の解析に静的 Mindlin 解がしばしば用いられてきた。しかし動的 Mindlin 解とも言える地中加振解については解析例が殆どなく、前述の如く地表面加振⁽⁷⁾⁽⁸⁾について調べられていないにすぎない。但しこれらでは地中構造物には適用できない。

著者等は既に三次元均質等方体の基本解⁽⁹⁾、半無限弾性体中に均質の作用する時の解⁽¹⁰⁾⁽¹¹⁾、剛基盤を有する弾性円柱中に鉛直均質加振が作用した時の解⁽¹²⁾を提示し、その性状を明らかにしてきた。これらの中動的 Mindlin 解は特異点の存在などに依り非常に複雑である。特に円柱状地盤の場合には特異点の数が著しく増し且つ共振現象を呈する為に特に複雑になる。著者等はこれらに基づいて素解の組合せによる近似解の有効性を示し、その構造物への適用の可能性について論じてきた。

本論では鉛直方向地中土加振解を三種の地盤モデルについて提示し、それ等の性状を明らかにした後にこれらの中構造物への応用として杭-地盤の相互作用問題について考える。解析は杭を差分分割する事に依る。この試みは静的問題で文⁽³⁾⁽⁴⁾に示された手法を動的問題に拡張したものである。本手法は動的 Mindlin 解を用いて得られていれば非常に簡潔であり、また解法にも統一性がある事が利点である。杭を差分分割する事以外には近似が入らないので解の信頼性も高い。地盤の変位は土加振解の積分に依るので地中構造物の形状は比較的任意であり、本論に示す例以外にも適用が可能である。

II 地中土加振解

本節では半無限弾性体中に鉛直方向均質加振が作用する時の解及び剛基盤を有する弾性円柱中に鉛直方向均質加振が作用する時の解を示し、その結果を考察する。既に文⁽¹⁰⁾⁽¹¹⁾で詳しく示してあるので、解を求める手順を簡単に述べる。本手法は特に素解が重要であり、素解とポテンシャルを利用して解析を行なう。これから X, Y 座標に沿って Fourier 变換し、境界条件を導入する事により、未定常数を決定する。さらにこれを逆変換す

る事によつて解を求める。

本問題は軸対称になる Z^2 円筒座標 (r, z) を採用する。自由表面を $z=0$ 、剛基盤面を $z=H$ とする。

1) 素解

$z=c$ の位置に鉛直方向集中力 $X'_3 e^{i\omega t} \delta(r, z=c)$ が作用し 原点と対称に仮想物体 $X''_3 e^{-i\omega t} \delta(r, z+c)$ があるとする。この時の変位は文⁽⁹⁾より

$$sU_r = \frac{e^{i\omega t}}{4\pi G} \frac{1}{\beta_s^2} \frac{\partial^2}{\partial r^2} \left[\frac{1}{R_1} (e^{-ipR_1} - e^{ipR_1}) X'_3 + \frac{1}{R_2} (e^{-ipR_2} - e^{ipR_2}) X''_3 \right]$$

$$sU_z = \frac{e^{-i\omega t}}{4\pi G} \left[\left(\frac{1}{R_1} e^{ipR_1} + \frac{1}{\beta_s^2} \frac{\partial^2}{\partial z^2} \left(\frac{1}{R_1} (e^{-ipR_1} - e^{ipR_1}) \right) \right) X'_3 + \left(\frac{1}{R_2} e^{ipR_2} + \frac{1}{\beta_s^2} \frac{\partial^2}{\partial z^2} \left(\frac{1}{R_2} (e^{-ipR_2} - e^{ipR_2}) \right) \right) X''_3 \right] \quad (1)$$

但し $R_1 = \sqrt{r^2 + (z-c)^2}$, $R_2 = \sqrt{r^2 + (z+c)^2}$ とし 特記のない記号についてには文⁽⁹⁾⁽¹⁰⁾を参考とする。

次に (1)式及び(1)式による応力を x, y に關して Fourier 変換し 自由表面の応力、剛基盤面 z の変位を求める。 $X'_3 = X''_3$ とし 変換場 z の諸量を百 z で示すと $z=0$ の応力及び $z=H$ の変位は

$$s\bar{U}_{rz} \Big|_{z=0} = \frac{\partial}{\partial r} \left[\frac{2}{\beta_s^2} (\gamma_1 e^{-i\theta c} - \gamma_1 e^{i\theta c}) + \frac{1}{\beta_s^2} e^{i\theta c} \right] X'_3 e^{i\omega t} \quad (2)$$

$$s\bar{U}_{rz} \Big|_{z=H} = 0$$

但し $\gamma_1 = \sqrt{\xi^2 - \beta_s^2}$, $\gamma_2 = \sqrt{\xi^2 - \beta_s^2}$, $\xi^2 = R_1^2 + R_2^2$

$$s\bar{U}_r \Big|_{z=H} = \frac{1}{2G} \frac{1}{\beta_s^2} \frac{\partial}{\partial r} \left\{ -e^{(H-c)\theta c} - e^{(H+c)\theta c} + e^{-(H-c)\theta c} + e^{-(H+c)\theta c} \right\} X'_3 e^{i\omega t} \quad (3)$$

$$s\bar{U}_z \Big|_{z=H} = \frac{1}{2G} \left\{ \left(\frac{1}{\gamma_1} + \frac{\xi^2}{\beta_s^2} \right) (e^{-(H-c)\theta c} + e^{(H+c)\theta c}) - \frac{\gamma_1}{\beta_s^2} (e^{(H-c)\theta c} + e^{(H+c)\theta c}) \right\} X'_3 e^{i\omega t} \quad (3)$$

2) 齊次解

(2), (3)式より $s\bar{U}_{rz}$ 以外は境界条件を満足しない。そこで ポテンシャルを導入する。文⁽⁹⁾より Z_1, Z_2 を用いる。この時 変位及び応力は

$$hU_r = \frac{\partial^2}{\partial r^2} (Z_1 - Z_2) \quad hU_z = \frac{\partial^2 Z_1}{\partial z^2} + \left(\frac{\partial^2}{\partial r^2} + \frac{1}{r} \frac{\partial}{\partial r} \right) Z_2 \quad (4)$$

$$h\bar{U}_{rz} = G \frac{\partial}{\partial r} \left\{ 2 \frac{\partial^2}{\partial z^2} Z_1 + \left(\frac{\partial^2}{\partial r^2} + \frac{1}{r} \frac{\partial}{\partial r} - \frac{\partial^2}{\partial z^2} \right) Z_2 \right\}$$

$$h\bar{U}_{zz} = \frac{E}{(1+\nu)(1-2\nu)} \frac{\partial}{\partial z} \left\{ (1-2\nu) \left(\frac{\partial^2}{\partial z^2} Z_1 + \left(\frac{\partial^2}{\partial r^2} + \frac{1}{r} \frac{\partial}{\partial r} \right) Z_2 \right) + \nu \left(\frac{\partial^2}{\partial r^2} + \frac{1}{r} \frac{\partial}{\partial r} + \frac{\partial^2}{\partial z^2} \right) Z_1 \right\} \quad (5)$$

Z_1, Z_2 は 文⁽⁹⁾ より 次々 離散波、横波の波动方程式を満足する。これらの方程式を x, y に關して Fourier 変換する。

$$\frac{d^2 \bar{Z}_1}{dz^2} - (k_1^2 + k_2^2 - \beta_s^2) \bar{Z}_1 = 0$$

$$\frac{d^2 \bar{Z}_2}{dz^2} - (k_1^2 + k_2^2 - \beta_s^2) \bar{Z}_2 = 0 \quad (6)$$

(6)式より \bar{Z}_1, \bar{Z}_2 は 未定常数 $A_1 \sim B_2$ を用いて

$$\bar{Z}_1 = A_1 e^{-\beta_s z} + A_2 e^{\beta_s z}$$

$$\bar{Z}_2 = B_1 e^{-\beta_s z} + B_2 e^{\beta_s z} \quad (7)$$

と求まる。(7)式を用いて 自由表面の応力、剛基盤の変位を変換場 z で示す。

$$h\bar{U}_{rz} \Big|_{z=0} = G \frac{\partial}{\partial r} \left\{ 2\gamma_1^2 (A_1 + A_2) - (2\xi^2 - \beta_s^2) (B_1 - B_2) \right\}$$

$$h\bar{U}_{zz} \Big|_{z=0} = G \left\{ -\gamma_1 (2\xi^2 - \beta_s^2) (A_1 - A_2) + 2\gamma_2 \xi^2 (B_1 - B_2) \right\} \quad (8)$$

$$h\bar{U}_r \Big|_{z=H} = \frac{\partial}{\partial r} \left\{ -\gamma_1 (A_1 e^{-i\theta H} - A_2 e^{i\theta H}) + \gamma_2 (B_1 e^{-i\theta H} - B_2 e^{i\theta H}) \right\} \quad (9)$$

$$h\bar{U}_z \Big|_{z=H} = \gamma_1^2 (A_1 e^{-i\theta H} + A_2 e^{i\theta H}) - \xi^2 (B_1 e^{-i\theta H} + B_2 e^{i\theta H}) \quad (9)$$

3) 半無限弾性地盤の場合

この時 無限遠 z の境界条件を用いることにより、(7)式中の A_2 及び B_2 が零になる。これを用いて自由表面の応力の条件を考えることによって以下の A_1, B_1 に関する連立方程式を得る。

$$\begin{bmatrix} -2\beta_s^2 & -(2\xi^2 - \beta_s^2) \\ \gamma_1 (2\xi^2 - \beta_s^2) & 2\beta_s \xi^2 \end{bmatrix} \begin{bmatrix} A_1 \\ B_1 \end{bmatrix} = \frac{\gamma_2 e^{-i\omega t}}{G \beta_s^2 \gamma_2} \begin{bmatrix} 2\gamma_2 (\gamma_2 e^{-i\theta c} - \gamma_1 e^{i\theta c}) + \beta_s^2 e^{-i\theta c} \\ 0 \end{bmatrix} \quad (10)$$

(10)式から A_1, B_1 を決定する。これらを用いて変換場における変位 \bar{U}_z を求めると

$$U_z = \frac{X'_3}{G} e^{i\omega t} \left[\frac{2\xi^2 \gamma_1 \{ i e^{i\theta c} + 2\beta_s^{-2} (\gamma_2^2 e^{-i\theta c} - \gamma_1 \gamma_2 e^{i\theta c}) \} e^{i\theta c}}{(2\xi^2 - \beta_s^2)^2 - 4\gamma_1 \gamma_2 \xi^2} \right. \\ \left. - \frac{\xi^2 \{ -e^{i\theta c} - 2\beta_s^2 (\gamma_2^2 e^{-i\theta c} - \gamma_1 \gamma_2 e^{i\theta c}) (-2\xi^2 + \beta_s^2) e^{i\theta c} \}}{4\gamma_1 \gamma_2 \xi^2} \right] \\ + F_{xy} [sU_z] \quad (11)$$

求めらるべき U_z は (11)式を逆変換することによつて

$$U_z = \frac{X'_3 e^{i\omega t}}{2\pi G} \int_0^\infty J_0(\xi r) [(11)式中の[]の中] d\xi \quad (12)$$

+ u_2

(12) 式で求めた解については既に文⁽¹⁰⁾で詳述されており解の検討もなされている。

4) 刚基盤を有する場合

自由表面における応力の条件及び剛基盤面における変位の条件を考えることによって以下の $A_1 \sim B_2$ に関する連立方程式を得る。

$$\begin{aligned} & \left[\begin{array}{cccc} -2\beta_1^2 & -2\beta_1^2 & 2\beta_1^2 p_2^2 & 2\beta_1^2 p_2^2 \\ \beta_1(2\beta_1^2 - p_2^2) & -\beta_1(2\beta_1^2 - p_2^2) & -2\beta_1^2 \beta_2 & 2\beta_1^2 \beta_2 \\ \gamma_1 e^{iH} & -\gamma_1 e^{iH} & -\gamma_2 e^{iH} & \gamma_2 e^{iH} \\ -\beta_1^2 e^{-iH} & -\beta_1^2 e^{-iH} & \beta_2^2 e^{-iH} & \beta_2^2 e^{-iH} \end{array} \right] \left| \begin{array}{c} A_1 \\ A_2 \\ B_1 \\ B_2 \end{array} \right. \\ & = \frac{\chi'_2 e^{iwt}}{2G\beta_2^2 \beta_2} \left\{ \begin{array}{c} 4\beta_2(\beta_2 e^{-iH} - \beta_1 e^{iH}) + 2\beta_2^2 e^{-iH} \\ 0 \\ -\beta_2(e^{-(H-c)\beta_2} + e^{-(H+c)\beta_2} - e^{(H-c)\beta_2} - e^{(H+c)\beta_2}) \\ \beta_2^2(e^{(H-c)\beta_2} + e^{(H+c)\beta_2}) - \beta_1 \beta_2(e^{(H-c)\beta_2} + e^{(H+c)\beta_2}) \end{array} \right\} \\ & = \frac{\chi'_2 e^{iwt}}{2G\beta_2^2 \beta_2} \left\{ \begin{array}{c} \sqrt{\sigma_{rr}}, 0, \sqrt{\epsilon_{rr}}, \sqrt{\epsilon_{zz}} \end{array} \right\}^T \end{aligned} \quad (13)$$

(13) 式の係数行列の行列式 $\det(A_{ij})$ は

$$\begin{aligned} \det(A_{ij}) &= 2\beta_1^2 \left[-8\beta_1 \beta_2 \beta_2^2 (2\beta_1^2 p_2^2) \right. \\ &\quad \left. - (\beta_2^2 \beta_1 \beta_2) \{(2\beta_1^2 - p_2^2)^2 - 4\beta_1 \beta_2 \beta_2^2\} \coth\{(b_1 + b_2)H\} \right. \\ &\quad \left. + (\beta_2^2 \beta_1 \beta_2) \{(2\beta_1^2 - p_2^2)^2 + 4\beta_1 \beta_2 \beta_2^2\} \sinh\{(b_1 + b_2)H\} \right] \end{aligned} \quad (14)$$

(13) 式の未定常数 $A_1 \sim B_2$ は (14) 式を用いて以下の様に決定される。

$$\begin{aligned} A_1 &= \frac{\chi'_2 e^{iwt}}{G\beta_1 \beta_2^2 F(\beta)} \left\{ \beta_2 \beta_2^2 \{(2\beta_1^2 - p_2^2)^2 - 2e^{iH}(\beta_2^2 \coth(b_2 H) - \beta_1 \beta_2 \sinh(b_2 H)) \right. \\ &\quad \left. + \beta_2^2 \{2\beta_1 \beta_2 (2\beta_1^2 - p_2^2) e^{iH} 4\beta_1 \beta_2 \beta_2^2 \coth(b_2 H) (2\beta_1^2 - p_2^2)^2 \sinh(b_2 H)\} \right\} \sqrt{\sigma_{rr}} \\ &\quad \beta_2 \{2\beta_1^2 (2\beta_1^2 - p_2^2) e^{iH} 4\beta_1 \beta_2 \beta_2^2 \sinh(b_2 H) (2\beta_1^2 - p_2^2)^2 \coth(b_2 H)\} \sqrt{\epsilon_{zz}} \\ &= \frac{\chi'_2 e^{iwt}}{G\beta_1 \beta_2^2 F(\beta)} A'_1 \end{aligned}$$

$$\begin{aligned} A_2 &= \frac{\chi'_2 e^{iwt}}{G\beta_1 \beta_2^2 F(\beta)} \left\{ \beta_1 \beta_2^2 \{(2\beta_1^2 - p_2^2)^2 - 2e^{iH}(\beta_2^2 \coth(b_2 H) + \beta_1 \beta_2 \sinh(b_2 H)) \right. \\ &\quad \left. + \beta_2^2 \{2\beta_1 \beta_2 (2\beta_1^2 - p_2^2) e^{iH} - 4\beta_1 \beta_2 \beta_2^2 \coth(b_2 H) + (2\beta_1^2 - p_2^2)^2 \sinh(b_2 H)\} \right\} \sqrt{\epsilon_{rr}} \\ &\quad + \beta_2 \{2\beta_1^2 (2\beta_1^2 - p_2^2) e^{iH} + 4\beta_1 \beta_2 \beta_2^2 \sinh(b_2 H) - (2\beta_1^2 - p_2^2)^2 \coth(b_2 H)\} \sqrt{\epsilon_{zz}} \right\} \\ &= \frac{\chi'_2 e^{iwt}}{G\beta_1 \beta_2^2 F(\beta)} A'_2 \end{aligned}$$

$$\begin{aligned} B_1 &= \frac{\chi'_2 e^{iwt}}{G \beta_2^2 F(\beta)} \left[\begin{array}{l} \{-2\beta_1 \beta_2^2 + (2\beta_1^2 - p_2^2)^2 e^{iH} (\beta_2^2 \sinh(b_2 H) - \beta_1 \beta_2 \coth(b_2 H))\} \sqrt{\sigma_{rr}} \\ + \beta_1 \{2(2\beta_1^2 - p_2^2)^2 e^{iH} 4\beta_1 \beta_2 \beta_2^2 \sinh(b_2 H) - (2\beta_1^2 - p_2^2)^2 \coth(b_2 H)\} \sqrt{\epsilon_{rr}} \\ - \{2\beta_1 \beta_2 (2\beta_1^2 - p_2^2) e^{iH} - 4\beta_1 \beta_2 \beta_2^2 \coth(b_2 H) - (2\beta_1^2 - p_2^2)^2 \sinh(b_2 H)\} \sqrt{\epsilon_{zz}} \end{array} \right] \\ &= \frac{\chi'_2 e^{iwt}}{G \beta_2^2 F(\beta)} B'_1 \end{aligned}$$

$$\begin{aligned} B_2 &= \frac{\chi'_2 e^{iwt}}{G \beta_2^2 F(\beta)} \left[\begin{array}{l} \{-2\beta_1 \beta_2^2 - (2\beta_1^2 - p_2^2)^2 e^{iH} (\beta_2^2 \sinh(b_2 H) + \beta_1 \beta_2 \coth(b_2 H))\} \sqrt{\sigma_{rr}} \\ - \beta_1 \{2(2\beta_1^2 - p_2^2)^2 e^{iH} 4\beta_1 \beta_2 \beta_2^2 \sinh(b_2 H) - (2\beta_1^2 - p_2^2)^2 \coth(b_2 H)\} \sqrt{\epsilon_{rr}} \\ - \{2\beta_1 \beta_2 (2\beta_1^2 - p_2^2) e^{iH} - 4\beta_1 \beta_2 \beta_2^2 \coth(b_2 H) + (2\beta_1^2 - p_2^2)^2 \sinh(b_2 H)\} \sqrt{\epsilon_{zz}} \end{array} \right] \\ &= \frac{\chi'_2 e^{iwt}}{G \beta_2^2 F(\beta)} B'_2 \end{aligned}$$

$$\text{但レ } F(\beta) = \frac{\beta_2}{\beta_1} \det(A_{ij}) \quad (15)$$

(15) 式で決定した未定定数を用いて u_2 を求めろ。さらに二軸を逆順にするとによって求めらるべき u_2 は以下の様に決定される。

$$u_2 = \frac{\chi'_2 e^{iwt}}{2\pi G \beta_2^2} \int J_0(\beta r) \frac{\beta_1 (A'_1 + A'_2) - \beta_2^2 (B'_1 + B'_2)}{F(\beta)} d\beta \quad (16)$$

+ u_2

(16) 式に示した解の妥当性について既に文⁽¹²⁾において検討を行ったので省略する。

5) 数値計算結果及び考察

半無限地盤については既に文⁽¹⁰⁾で詳細に述べたのでここでは主に剛基盤を有する場合について検討する。剛基盤を有する問題の半無限地盤の場合と大きく異なる点は共振現象であり、これが重要な問題となる。この事が数値計算上半無限地盤より一方複雑な手順を要する原因である。共振束は以下の時である。 i) Rayleigh Pole が重根となる時 ii) $\beta = 0$ 近傍で積分が発散する時である。これらのことについて文⁽¹⁰⁾に詳述されている。この数値計算を行な際には一般に無次元化量を用いる。その一例を示す。

$$\begin{aligned} a &= \rho_1 r \quad b = \rho_2 z \quad f = \rho_2 c \quad d = \rho_2 H \\ \lambda_1 &= \beta_2 R_1 = (\alpha^2 + (b-f)^2)^{1/2} \quad \lambda_2 = \beta_2 R_2 = (\alpha^2 + (b+f)^2)^{1/2} \\ \beta &= \beta_1 / \beta_2 \quad \beta_1 = \rho_1 / \rho_2 \quad \beta_2 = \rho_2 / \rho_1 \end{aligned}$$

本解は (12) (16) 式に示すやう様に特異束を含む半無限積分を実行しなければならない。特異束は $F(\beta) = 0$ なる根を調べる事によって検出できる。特に Rayleigh Pole が重要となる。これは $\rho_2 H$ の関数であり $F(\beta) = 0$

$\nu = 1/3$ の時の ζ_R への曲線を示す。半無限地盤の場合には 1 つであったが、剛基盤を有する場合には p_2H の値により 2 つ Rayleigh Pole の値及び数が複雑に変化する。Rayleigh Pole ではこの種の問題でよく行われる様にその卓での留数を求めそれを $(-\pi i)$ 倍した値を用いる。結局 解は素解項、留数項及び特異点間の積分項によつて構成される。いくつかの数値計算例から、留数項は純虚数となり、素解項と積分項の虚部が相殺していゝ事が明らかになった。

以下数値計算結果を示す。各図共に半無限地盤の解と剛基盤を有する時の解を併記した。Fig. 2 に $p_2H = 4.0$, $p_2C = 1.0$ の時の地盤内変位図を示す。両解の定性的傾向は似ており、剛基盤面での条件が満たさなければならぬ事が分る。

Fig. 3 は振動数による変位応答を示した図であり、加振卓在厚層の中心にした時の原卓における変位である。Fig. 4 は厚層による変位応答を示した図である。 $p_2C = 1.0$ とした時の原卓における変位である。両図共に $p_2H = 3.10$ 及び $p_2H = 3.14$ で共振しており、前者は前述の i) による、後者は ii) による共振卓である。最初の共振点以下では虚部が小さく、共振点で実部が大きくなっている。そして共振を繰り返す半無限解に収束していく事が理解できる。Fig. 5 は加振卓位置による影響を調べた図である。 $p_2H = 4.0$ の時の種々の加振位置に対する z 軸上の変位を示した図である。加振位置が剛基盤面に近い時に変位拘束を大きくうけている。特に虚部にその影響が大きい。

以上の事から剛基盤を有すると考える必要があるのは、加振位置が厚層に比して深い時及び加振振動数と厚層の関係により、こゝで主に低振動数域と厚層が薄い場合に相当する。

本論文は省略したが、素解・組合せを工夫することによってかなり精度のよい近似解が得られた。こゝらの近似解は、複雑な数値積分がなく演算の簡単な素解のみを扱うことができるから構造物などの相互作用問題への応用には非常に有効であると考えられる。

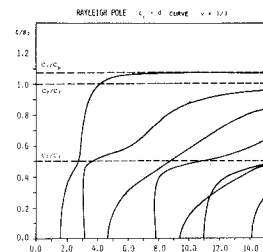


FIG. 1 RAYLEIGH POLE $\zeta_i \sim d$ CURVE

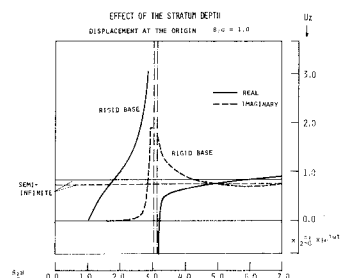


FIG. 2 EFFECT OF THE STRATUM DEPTH

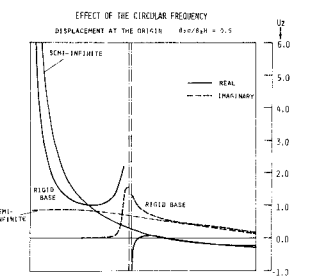


FIG. 3 EFFECT OF CIRCULAR FREQUENCY

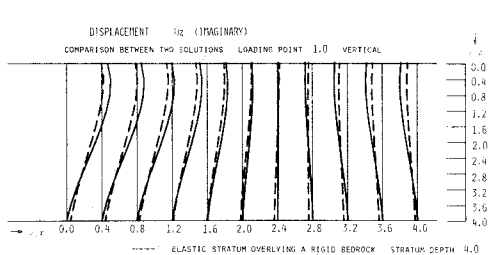
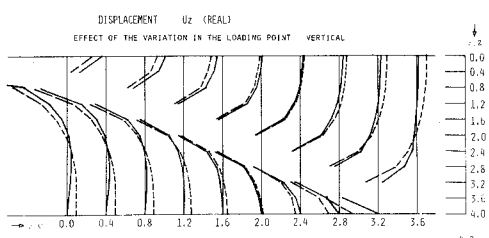
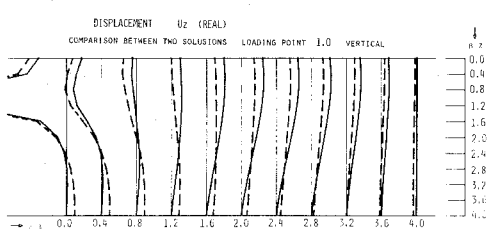


FIG. 2 DISPLACEMENT IN THE MEDIUM

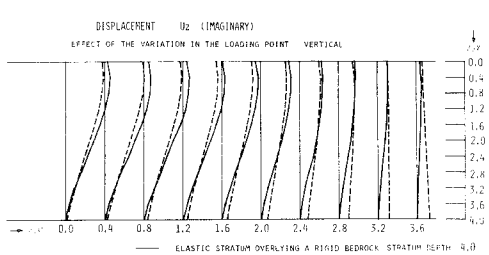


FIG. 5 EFFECT OF LOADING POINT

Ⅲ 杭-地盤動的相互作用問題

Ⅱで求めた地中点加振解を用ひて 杭-地盤の動的相互作用問題について考える。この種の相互作用問題は一般に積分方程式に帰結し 積分解の算出が難しい。その為に何らかの仮定を設けて近似的手法を導入した試みがなされている。ここでは 前述した点加振解を杭の形状に沿って積分し 杭を Fig. 7 に示す様に差分分割する。本法を用いる事によつてこれらの困難さを排除する事ができる。この手法は文^{[3][4]}の中で述べられてゐるものである。本論では次の3つのモデルを解析する。(a) 半無限弾性体中の摩擦杭 (b) 刚基盤を有する弾性層中の摩擦杭 (c) 刚基盤に杭端が支持された支持杭 の3モデルである。Fig. 6 に図示する。求めるのは 杭上端に鉛直方向加振が作用した時の杭変位及び地盤反力である。杭を $n+1$ 個の差分要素に分割し 各差分要素の長さを等しくする。但し 杭上端及び下端の差分要素は他の差分要素の長さの半分とする。そして これらの差分要素を用いて杭の支配方程式を差分方程式にして解析する。この時 杭と地盤とが完全密着であるとして 両者の鉛直変位を杭の中心軸で一致させる。地盤の変位は Ⅱで求めた地中点加振解を面積積分することによって得られる。杭形状は一边 w の正方形断面をもつ長さ L の杭とする。杭上端に $P e^{i\omega t}$ が作用した時を基準 各要素内に生じる地盤反力は等分布とし $p_i e^{i\omega t}$ であるとする。

1) 杭の変位-地盤反力式

鉛直分布加振が作用する時の杭の運動方程式は

$$E_p A_p \frac{\partial^2 u}{\partial z^2} = w p(z) + g A_p \frac{\partial^2 u}{\partial t^2} \quad (17)$$

$$u = u e^{i\omega t}, \quad p(z) = p(z) e^{i\omega t} \quad \text{とすると (17) 式は}$$

$$\frac{\partial^2 u}{\partial z^2} + p_p^2 u = \frac{4}{E_p A_p} w p(z) \quad (18)$$

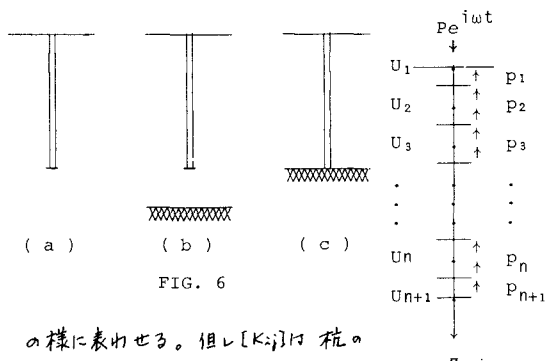
但し $p_p^2 = \omega^2 / c_p^2, \quad c_p^2 = E / \rho$ である。

(18)式を中心差分表示する。要素内の分布地盤反力を等分布とし p_i であるとする。

$$u_{i-1} + \left(p_p \frac{L^2}{m^2} - 1 \right) u_i + u_{i+1} = \frac{4 w L^2 p_i}{m^2 E_p A_p} \quad (19)$$

これを行列表示すると

$$\frac{4 w L^2}{m^2 E_p A_p} \{ p_i \} = [K_{ij}] \{ u_j \} \quad (20)$$



の様に表わせる。但し $[K_{ij}]$ は 杭の柔性マトリックスに相当する。

2) 地盤の変位-地盤反力式

差分要素 j に単位等分布加振が作用した時の地盤における変位を S_{ij} とすると 変位-地盤反力式は

$$\{ u_i \} = [S_{ij}] \{ p_i \} \quad (21)$$

ここで $[S_{ij}]$ は 地盤の柔性マトリックスに相当し Ⅱで求めた地中点加振解(半無限地盤の場合は(12)式、剛基盤を有する場合は(16)式)を用いて以下の様に求まる。

$$S_{ij} = \int_{-w/2}^{w/2} \int_{z_{lower}}^{z_{upper}} u_z \Big|_{z=z_i} dz dr \quad (22)$$

但し 加振面は z 軸上であるとする。

3) 境界条件の導入

(20), (21)式と境界条件を用いることによって解を決定する。境界条件は摩擦杭と支持杭とは異なる。摩擦杭の場合には杭頭と杭端の条件は共にたかの条件で

$$\mathcal{J} = E_p \frac{\partial u}{\partial z} \Big|_{z=1} = - \frac{P}{A_p} \quad (23)$$

$$\mathcal{J} = E_p \frac{\partial u}{\partial z} \Big|_{z=n+1} = 0 \quad (24)$$

支持杭の場合には杭端の条件が異なり 変位の条件から

$$u \Big|_{z=n+1} = 0$$

となる。これらの境界条件を(20)式に代入して(20), (21)式から 変位及び地盤反力を決定する。

4) 数値計算結果及び考察

本論の主目的である 杭の形状効果、杭端条件の効果等について調べる。 $\beta_0 L = 4.0, G = 2.0 \times 10^3 \text{ t/m}^3, \nu = 1/3, \beta_2 = 0.6$ とした時の (a) 半無限地盤中の摩擦杭 (b) 刚基盤 ($p_0 H = 6.0$) を有する弾性層中の摩擦杭 (c) 刚基盤 ($p_0 H = 4.0$) に支持された支持杭 の3つのモデルを解析する。杭形状及び杭の弾性常数について数値計算する。

ことにより、杭のW/L比及び E_p/G 比の効果について観察する。差分分割数について21と20分割までの数caseを検討した結果、二つでは11分割とする。この時の杭変位をFig.9に示す。各パラメータは図中に示す。

図より、(a)と(b)とが非常に一致している。二つは(b)が $\beta_0 H = 6.0$ の剛基盤を有し、Fig.3,4を調べるとこの表で剛基盤解が半無限解にほぼ一致していること及び(a),(b)の杭端条件が同じであることにによる。杭端固定の(c)は(a),(b)とは症候的傾向に差違を生じる。

しかし、Fig.3,4から理解できる様に(b),(c)の応答は $\beta_0 H$ の値により変化する。特に共振点付近での応答は(a),(b),(c)で全く異なるであろう。

E_p/G 或いはW/Lが大きい時には(a),(b)は剛体的な変形をしているのに比べて(c)は支持条件の等しい棒の継縫動時変形に近い。前者は杭自身は殆ど変形せず地盤が変形をしている。その為に杭変位は E_p/G に依存しない。二つはともに基づいて杭を非圧縮性であるとして解析された試験⁽³⁾もある。虚部の値についても(c)は(a),(b)に比べて非常に小さい。二つは特にW/L=0.2 $E_p = 2.1 \times 10^7$ 時に特徴的である。従って二つの場合には杭端条件の決定が重要であると考えられる。一方 E_p/G 或いはW/Lが小さい時には3つのモデルの変位応答は類似している。また杭の上端部のみに大きな変位が生じている。二つは加振外力の殆どが杭頭近傍の地盤反力を支持されていることによる。二つはW/L=0.01 $E_p = 2.1 \times 10^7$ に特徴的である。しかし(a),(b),(c)の応答がほぼ一致しているのは前述の如くFig.3,4より二つの場合の剛基盤解が半無限解に近いことによる。

二つは振動数領域の議論はしなかったが、一般に地盤の固有振動数は杭のそれと比べて小さくまた卓越する。地盤の振動数特性は既にFig.3,4でかなり詳細に議論した。杭と地盤との固有振動数が近い場合には、これらに詳細な議論が必要となるであろう。

著者等は前述した様に解法全体を通じて素解が重要である事を述べてきた。それは文⁽⁴⁾にも示されてある。杭-地盤相互作用でも素解が非常に有効である事を示す。柔軟コトリックスSijの算出に当りCase1は完全解、Case2は素解の面積積分、Case3は素解を面積倍したものである。Table 1にその値を示す。但し実部についてはのみである。Table 2及びFig.8に二つを

CASE 1 COMPLETE SOLUTION											TABLE 1-1	
1	0.5047	0.3916	0.1767	0.0958	0.0505	0.0214	0.0020	-0.0134	-0.0174	-0.0202	-0.0144	
2	0.2108	0.6506	0.2485	0.1184	0.0634	0.0311	0.0103	-0.0229	-0.0105	-0.0138	-0.0126	
3	0.0917	0.2425	0.1632	0.2053	0.0882	0.0415	0.0153	-0.0006	-0.0117	-0.0149	-0.0118	
4	0.0431	0.1040	0.1951	0.1951	0.0481	0.0208	0.0068	-0.0004	-0.0014	-0.0024	-0.0009	
5	0.0207	0.0483	0.0791	0.1893	0.0510	0.1754	0.0682	0.0291	0.0087	-0.0033	-0.0061	
6	0.0048	0.0140	0.0304	0.0673	0.1739	0.5578	0.1751	0.0699	0.0319	0.0119	-0.0001	
7	-0.0006	-0.0076	-0.0162	0.0241	0.0541	0.0691	0.5607	0.1751	0.0699	0.0319	0.0119	
8	-0.0123	-0.0250	-0.0424	0.0524	0.0684	0.0776	0.1759	0.1842	0.1842	0.1842	0.0224	
9	-0.0158	-0.0278	-0.0424	0.0524	0.0684	0.0776	0.1844	0.1842	0.1842	0.1842	0.0224	
10	-0.0169	-0.0302	-0.0537	-0.0169	-0.0546	0.0126	0.0377	0.0802	0.1893	0.5745	0.1182	
11	-0.0162	-0.0293	-0.0257	-0.0196	-0.0107	0.0014	0.0180	0.0422	0.0838	0.1918	0.2847	

CASE 2 INTEGRAL OF FUNDAMENTAL SOLUTION											TABLE 1-2	
1	0.5696	0.3819	0.1670	0.0860	0.0408	0.0117	-0.0077	-0.0201	-0.0271	-0.0399	-0.0144	
2	0.1910	0.6587	0.2340	0.1339	0.0489	0.0166	-0.0042	-0.0117	-0.0205	-0.0283	-0.0143	
3	0.0835	0.2340	0.1956	0.1968	0.0797	0.0330	0.0068	-0.0091	-0.0186	-0.0234	-0.0124	
4	0.0431	0.1040	0.1951	0.1951	0.0481	0.0208	0.0068	-0.0091	-0.0186	-0.0234	-0.0124	
5	0.0204	0.0483	0.0797	0.1893	0.0510	0.1754	0.0682	0.0291	0.0087	-0.0033	-0.0061	
6	0.0058	0.0166	0.0330	0.0659	0.1760	0.5604	0.1777	0.0724	0.0345	0.0145	0.0024	
7	-0.0038	-0.0042	0.0068	0.0281	0.0686	0.1777	0.5641	0.1824	0.0776	0.0396	0.0115	
8	-0.0136	-0.0250	-0.0424	0.0524	0.0684	0.0776	0.1855	0.1853	0.1853	0.1853	0.0220	
9	-0.0150	-0.0283	-0.0537	-0.0169	-0.0546	0.0126	0.0377	0.0802	0.1893	0.5745	0.1182	
10	-0.0147	-0.0283	-0.0247	-0.0186	-0.0097	0.0024	0.0191	0.0433	0.0848	0.1928	0.2847	

CASE 3 FUNDAMENTAL SOLUTION X AREA											TABLE 1-3	
1	0.3831	0.1672	0.0862	0.0408	0.0117	-0.0078	-0.0202	-0.0273	-0.0392	-0.0144	-0.0142	
2	0.1916	0.6587	0.2340	0.1339	0.0489	0.0166	-0.0042	-0.0117	-0.0205	-0.0284	-0.0143	
3	0.0836	0.2340	0.1956	0.1968	0.0797	0.0330	0.0068	-0.0091	-0.0186	-0.0234	-0.0124	
4	0.0431	0.1040	0.1951	0.1951	0.0481	0.0208	0.0068	-0.0091	-0.0186	-0.0234	-0.0124	
5	0.0204	0.0483	0.0797	0.1893	0.0510	0.1754	0.0682	0.0291	0.0087	-0.0033	-0.0061	
6	0.0058	0.0166	0.0330	0.0659	0.1760	0.5604	0.1777	0.0724	0.0345	0.0145	0.0024	
7	-0.0038	-0.0042	0.0068	0.0281	0.0686	0.1777	0.5641	0.1824	0.0776	0.0396	0.0115	
8	-0.0136	-0.0250	-0.0424	0.0524	0.0684	0.0776	0.1855	0.1853	0.1853	0.1853	0.0220	
9	-0.0150	-0.0283	-0.0537	-0.0169	-0.0546	0.0126	0.0377	0.0802	0.1893	0.5745	0.1182	
10	-0.0147	-0.0283	-0.0247	-0.0186	-0.0097	0.0024	0.0191	0.0433	0.0848	0.1928	0.2847	

TABLE 1 FLEXIBILITY MATRIX

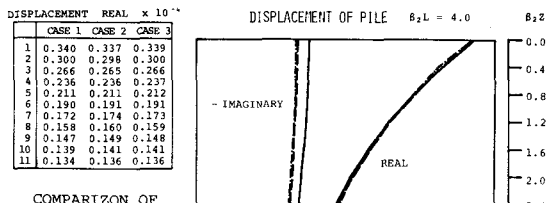


FIG.8 DISPLACEMENT FOR THREE CASE

とし $\beta_0 H = 4.0$, $W/L = 0.1$, $E_p = 2.1 \times 10^7$ である。二つから明らかな様に、特異点の処理の繁雑さが伴わないこの近似手法の有効性が大きい事が理解できるであろう。

Ⅳ 終わりに

本論では二種の地盤に対する動的Mindlin解を提示し、それに基づいて杭の応答を求めたが、妥当な結果を得る事ができ、初期の目的を達成する事ができた。動的Mindlin解に基づいて解析された二の様な例はない。従来は静的Mindlin解により混合モデル等のパネル常数が求められてきたが、それらの妥当性を本解を用いて動的解析を行った結果から検討すべき。また本解法を用いて、実地震波に対する応答についても解析できると考えられる。今後、水平問題についても同様な解析を進めていくつもりである。

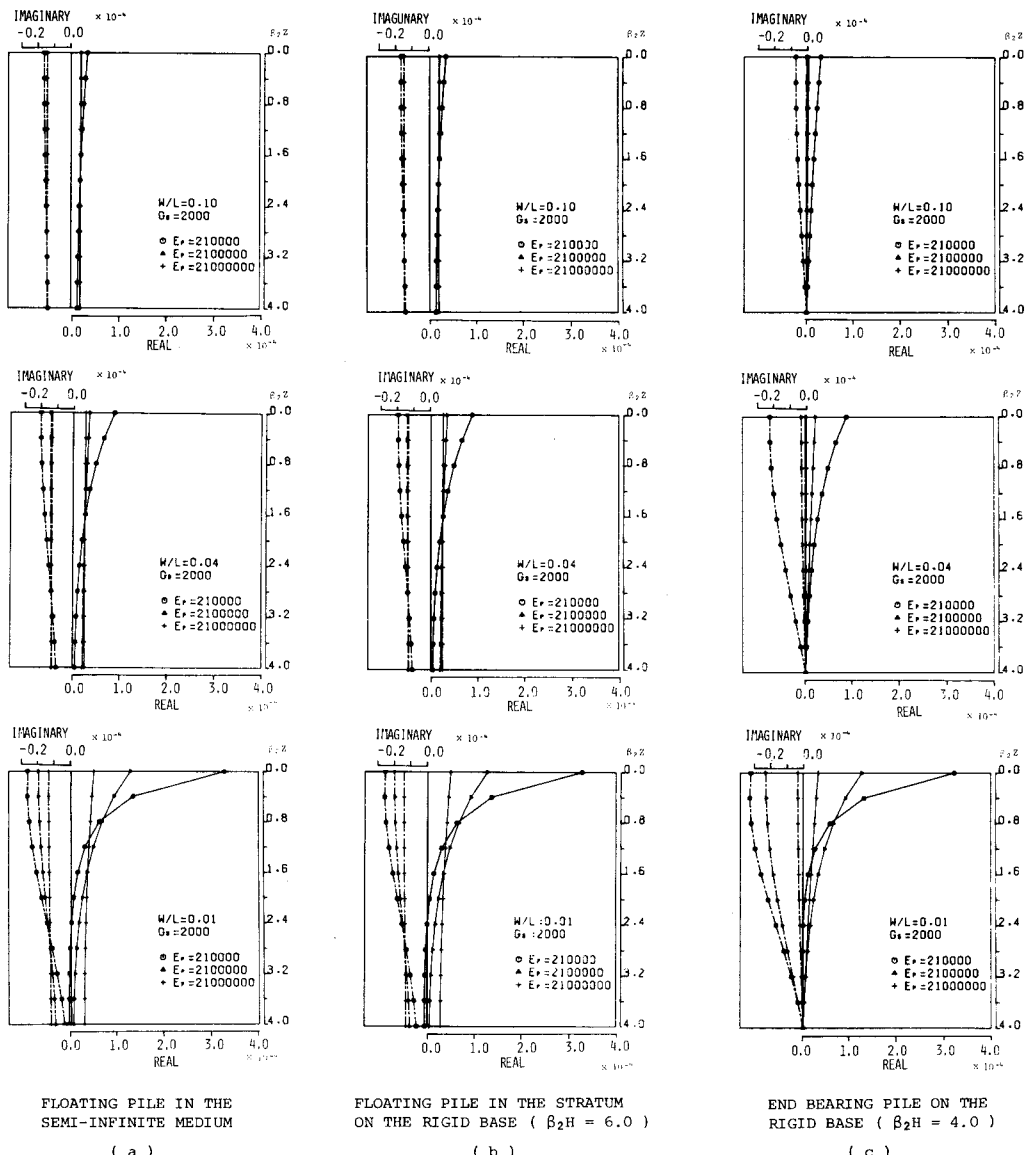


FIG. 9 DISPLACEMENT OF PILE

- 参考文献
1. H.Tagimi "Dynamic Analysis of a Structure embedded in an Elastic Stratum" Proc.4th WCEE
 2. T.Nogami and M.Novak "Soil-Pile Interaction in Vertical Vibration" Jr.Earthq.Dyn. v.4 No.3
 3. H.G.Poulos "The Settlement Behavior of Single Axially Loaded Incompressible Piles and piers" Geotechnique
 4. W.R.Spillers "Lateral Response of Piles" ASCE 1964 SM6 1968
 5. J.Lysmer et al "Finite Dynamic Model for Infinite media" ASCE 1969 EM4
 6. Penzien et al "Seismic Analysis of Bridges on Long Piles" ASCE 1970 EM3
 7. 田治見宏 建築構造学系 I "地盤工学" 彰國社 pp 100~103
 8. 小坂, 関井, 鈴木 "長方形基礎のDynamical Ground Compliance (4x2)" 京大防災研究所年報第10号 A
 9. ~11 松岡, 八幡 "題1省略 4a1~4a3" 建築学会論文報告集 第283号 pp.73~84 第293号 pp.35~44 第298号 pp.43~54
 12. 松岡, 八幡, 福和 "題1省略 4a1~4a2" 建築学会大会学術講演梗概集 55年9月 pp.527~530

The Study of Pile-Soil Interaction Subjected to a Vertical
Harmonic Load based on the Generalized Dynamic Mindlin Solution

Osamu Matsuoka* Kaeko Yahata** Nobuo Fukuwa**

The purpose of this paper is to investigate the soil-pile interaction subjected to a harmonic force on the pile top. In the analysis of this problem, the generalized dynamic Mindlin solutions to be called are used for two cases. The solutions which have been derived and discussed in our previous paper(9~12) are shown in Fig.1~Fig.5. One is the solution that the semi-infinite elastic medium subjected to a vertical harmonic point force in its interior, and another is the similar solution in the elastic stratum overlying a rigid bedrock. Mindlin solution has been applied to so many useful studies, but it in the dynamic case has been remained unsolved. It may be said that the dynamic Mindlin solution is the same important as the static one.

To the governing equation of vertically vibrating pile, the finite difference equation is applied, and the applying stress of pile to the soil are obtained from integrated dynamic Mindlin solutions. After that the analysis of this problem is not so complex. This method in the static case for the similar problem has been presented by (3),(4). The three boundary conditions for the pile are studied, and they are following,

- (a) the floating pile in the semi-infinite medium,
- (b) the floating pile in the elastic stratum overlying a rigid bedrock,
- (c) the end-bearing pile on the rigid bedrock.

The discussions about the distinction and analogy for the behavior of the three cases are done, and it is clear that the results based in the above method are reasonable.

* Prof. of Nagoya University

** Graduate Student Of Nagoya University